

УДК 539.375

ВЛИЯНИЕ ЗАКРЫТИЯ КОЛЛИНЕАРНЫХ ТРЕЩИН НА НАПРЯЖЕННО-ДЕФОРМИРОВАННОЕ СОСТОЯНИЕ И ПРЕДЕЛЬНОЕ РАВНОВЕСИЕ ИЗГИБАЕМЫХ ПОЛОГИХ ОБОЛОЧЕК

И. П. Шацкий, Н. В. Маковийчук

Ивано-Франковский сектор Института прикладных проблем механики
и математики им. Я. С. Подстригача НАН Украины, 76000 Ивано-Франковск, Украина
E-mails: opm@nung.edu.ua, makoviy@ua.fm

В рамках теории Кирхгофа рассматривается задача о закрытии коллинеарных трещин при изгибе пологой оболочки. Для описания закрытия трещин использована модель контакта вдоль линии на одной из лицевых поверхностей. Изучены зависимости коэффициентов интенсивности усилий, моментов и величины разрушающей нагрузки от параметров кривизны оболочки и расположения дефектов, исследовано распределение контактных усилий вдоль трещин.

Ключевые слова: оболочка, изгиб, закрытие трещин, прочность.

Постоянно возрастающие требования к надежности современной техники обуславливают необходимость разработки и совершенствования расчетных методик, учитывающих влияние различного рода повреждений на прочностные свойства тонкостенных элементов конструкций. При наличии деформаций изгиба в пластинах и оболочках следует учитывать закрытие трещин. Основные подходы к решению указанной проблемы представлены в обзорах [1–4]. Для описания взаимодействия берегов трещин в изгибаемых оболочках целесообразно использовать модель контакта вдоль линии на одной из лицевых поверхностей оболочки, обеспечивающую получение непротиворечивых результатов с помощью двумерных теорий. В настоящее время сформулированы краевые условия для такой модели [1, 5–7], изучены вопросы существования, единственности и гладкости решений соответствующих краевых задач теории пологих оболочек [1, 6], с использованием классической теории [7–10] и с учетом трансверсального сдвига [11, 12] решены конкретные задачи изгиба оболочек с одиночными прямолинейными разрезами, исследовано частичное закрытие трещины в пологих оболочках при совместном растяжении и изгибе [13].

В данной работе изучено влияние контакта берегов коллинеарных разрезов на напряженно-деформированное состояние и предельное равновесие оболочек при изгибе. Аналогичные исследования для пластины проведены в работе [14]. В [15, 16] изучено взаимодействие трещин в оболочках при действии растягивающей нагрузки, в [17] — при изгибе с дополнительным растяжением, достаточным для предотвращения контакта берегов.

Постановка задачи. Рассмотрим изотропную оболочку толщиной $2h$ с системой сквозных коллинеарных разрезов, расположенных вдоль главной линии кривизны на отрезках L_n ($n = \overline{1, N}$) (рис. 1). К противоположным краям трещин приложены самоуравновешенные равномерно распределенные изгибающие моменты $m_n = \text{const}$ одинакового знака. Остальные поверхности оболочки, включая бесконечно удаленные точки, свободны

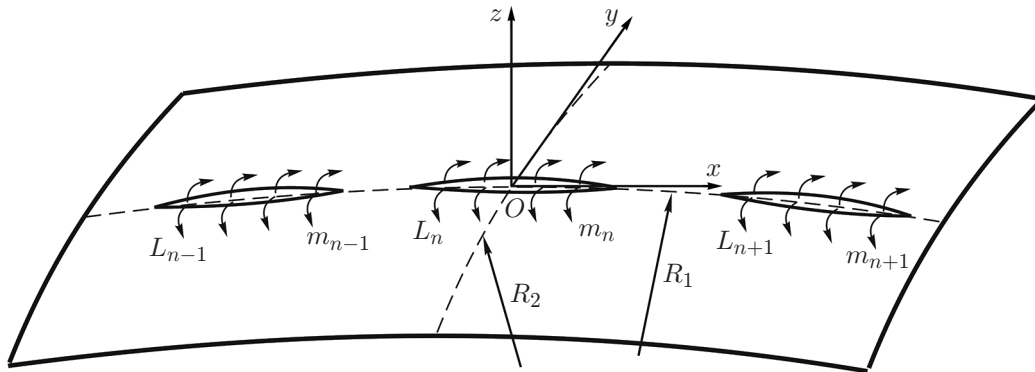


Рис. 1. Пологая оболочка с системой коллинеарных разрезов

от нагрузки. Исследуем влияние расположения трещин и контактного взаимодействия их берегов на напряженно-деформированное состояние и предельное равновесие изгибаемой оболочки.

Считая, что в зоне возмущения напряженного состояния оболочка является полой, введем декартову систему координат $Oxyz$ с осью абсцисс, ориентированной вдоль линии расположения трещин. Напряженно-деформированное состояние оболочки вне разрезов опишем уравнениями теории пологих оболочек

$$\Delta\Delta\varphi - \frac{B}{R}\Delta_k w = 0, \quad \Delta\Delta w + \frac{1}{DR}\Delta_k\varphi = 0, \quad (x, y) \in \mathbb{R}^2 \setminus L. \quad (1)$$

Здесь φ — функция напряжений; w — прогиб оболочки;

$$B = 2Eh; \quad D = \frac{2Eh^3}{3(1-\nu^2)};$$

E, ν — модуль Юнга и коэффициент Пуассона материала оболочки;

$$\Delta = \frac{\partial^2}{\partial x^2} + \frac{\partial^2}{\partial y^2}; \quad \Delta_k = \beta_2 \frac{\partial^2}{\partial x^2} + \beta_1 \frac{\partial^2}{\partial y^2}; \quad \beta_1 = \frac{R}{R_1}; \quad \beta_2 = \frac{R}{R_2}; \quad R = \min(|R_1|, |R_2|);$$

R_1, R_2 — главные радиусы кривизны нормальных сечений срединной поверхности;

$L = \bigcup_{n=1}^N L_n$ — совокупность разрезов.

Учитывая симметрию задачи относительно оси абсцисс, с использованием гипотезы Кирхгофа запишем краевые условия на разрезах [1, 5–7]

$$[u_y]_n = h[\theta_y]_n \geq 0, \quad M_y = -m_n + hN_y \operatorname{sgn}[\theta_y]_n, \quad N_y \leq 0, \quad x \in L_n, \quad n = \overline{1, N}. \quad (2)$$

На бесконечности напряжения отсутствуют:

$$N_x = N_{xy} = N_y = 0, \quad M_x = M_{xy} = M_y = 0, \quad Q_x^* = Q_y^* = 0, \quad (x, y) \rightarrow \infty. \quad (3)$$

В формулах (2), (3) $[u_y]_n, [\theta_y]_n$ — раскрытие трещины на срединной поверхности оболочки и скачок угла поворота нормали для каждой трещины; N_{ij}, M_{ij}, Q_i^* — мембранные силы, моменты и обобщенные поперечные силы.

Краевая задача (1)–(3) рассматривается в предположении, что контакт берегов осуществляется по всей длине трещин; если на какой-либо трещине неравенство $N_y \leq 0$ нарушается, то в этом случае следует решать смешанную задачу с неизвестными областями контакта и раскрытия.

Интегральные уравнения задачи. Для построения решения сформулированной задачи используем метод сингулярных интегральных уравнений. Запишем интегральные представления усилий и моментов на линии разрезов через производные от скачков смещений и углов поворота нормали [16]:

$$\begin{aligned} N_y(x, 0) &= \frac{B}{4\pi} \sum_{m=1}^N \int_{L_m} \{K_{11}(\xi - x)[u_y]'_m(\xi) - K_{13}(\xi - x)a[\theta_y]'_m(\xi)\} d\xi, \\ M_y(x, 0) &= \frac{Ba}{4\pi} \sum_{m=1}^N \int_{L_m} \{K_{31}(\xi - x)[u_y]'_m(\xi) - K_{33}(\xi - x)a[\theta_y]'_m(\xi)\} d\xi. \end{aligned} \quad (4)$$

Здесь $a = h/\sqrt{3(1-\nu^2)}$; ядра $K_{jk}(\xi - x)$ определяются формой оболочки и в общем случае выражаются через интегралы Фурье:

$$K_{jk}(z) = [\delta_{jk} \operatorname{Re} + (1 - \delta_{jk}) \operatorname{Im}] \int_0^\infty g_{jk} \left(\gamma \frac{\sqrt{-i}}{\tau} \right) \sin z\tau d\tau \quad (j, k = 1, 3),$$

$$g_{11}(\rho) = \frac{r(\rho)}{\omega(\rho)}, \quad g_{13}(\rho) = g_{31}(\rho) = -r(\rho) \left(1 + \frac{\nu}{\omega(\rho)} \right),$$

$$g_{33}(\rho) = r(\rho) \left(2 - 2\nu + \beta_1 \rho^2 + \omega(\rho) + \frac{\nu^2}{\omega(\rho)} \right),$$

$$r(\rho) = 2(2 + \beta_1 \rho^2 + 2\omega(\rho))^{1/2}, \quad \omega(\rho) = (1 + \beta_2 \rho^2)^{1/2}, \quad \gamma = 1/\sqrt{Ra}, \quad z = \xi - x.$$

Используя граничные условия на каждом разрезе L_n , $n = \overline{1, N}$ и исключая $[u_y]_n$ с помощью первого условия в (2), получаем систему N сингулярных интегродифференциальных уравнений для нахождения неизвестных функций скачка угла поворота нормали

$$\begin{aligned} \frac{D}{4\pi} \sum_{m=1}^N \int_{L_m} \{3(1-\nu^2)K_{11}(\xi - x) + 2s\sqrt{3(1-\nu^2)}K_{13}(\xi - x) + \\ + K_{33}(\xi - x)\} [\theta_y]'_m(\xi) d\xi = m_n, \quad x \in L_n, \quad n = \overline{1, N}. \end{aligned} \quad (5)$$

Здесь учтено, что $\operatorname{sgn} [\theta_y]_n = -\operatorname{sgn} m_n = -s$ [5, 7].

На концах разрезов решения полученной системы уравнений должны быть однозначными:

$$[\theta_y]_n(\partial L_n^\pm) = 0, \quad n = \overline{1, N}. \quad (6)$$

Если контакт берегов не учитывается, то, подставляя интегральные представления (4) в классические условия $N_y = 0$, $M_y = -m_n$, $x \in L_n$, $n = \overline{1, N}$, получаем систему $2N$ уравнений относительно разрывов перемещений и углов поворота на разрезах [16, 17]

$$\frac{B}{4\pi} \sum_{m=1}^N \int_{L_m} \{K_{11}(\xi - x)[\bar{u}_y]'_m(\xi) - K_{13}(\xi - x)a[\bar{\theta}_y]'_m(\xi)\} d\xi = 0,$$

$$\frac{Ba}{4\pi} \sum_{m=1}^N \int_{L_m} \{K_{31}(\xi - x)[\bar{u}_y]'_m(\xi) - K_{33}(\xi - x)a[\bar{\theta}_y]'_m(\xi)\} d\xi = -m_n, \quad (7)$$

$$x \in L_n, \quad n = \overline{1, N}$$

с дополнительными условиями

$$[\bar{u}_y]_n(\partial L_n^\pm) = 0, \quad [\bar{\theta}_y]_n(\partial L_n^\pm) = 0, \quad n = \overline{1, N}. \quad (8)$$

По найденным функциям скачка перемещений и углов поворота нормали вычисляются коэффициенты интенсивности усилий и моментов

$$K_{N,n}^\pm = \mp \frac{B}{4} \lim_{x \rightarrow \partial L_n^\pm} \sqrt{2|x - \partial L_n^\pm|} [u_y]'_n(x),$$

$$K_{M,n}^\pm = \pm (3 - 2\nu - \nu^2) \frac{D}{4} \lim_{x \rightarrow \partial L_n^\pm} \sqrt{2|x - \partial L_n^\pm|} [\theta_y]'_n(x).$$

Затем с помощью энергетического критерия разрушения при условии комбинированного растяжения и изгиба [16] для каждой вершины определяется предельная нагрузка, при которой начинается распространение трещины:

$$\frac{\pi}{4h^2E} \left\{ (K_{N,n}^\mp)^2 + \varkappa \left(\frac{K_{M,n}^\mp}{h} \right)^2 \right\} = 2\gamma_*$$

($\varkappa = 3(1 + \nu)/(3 + \nu)$; γ_* — плотность эффективной поверхностной энергии материала).

Анализ результатов. Численные решения задач (5), (6) и (7), (8) получены методом квадратур при $\nu = 0,3$ для наиболее распространенных (цилиндрических и сферических) форм оболочек. Ядра интегральных уравнений (5), (7) для таких оболочек выражаются через функции Кельвина [16]. Рассмотрены случаи взаимодействия двух одинаковых трещин длиной $2l$, расстояние между центрами которых равно $2d$. Моментные нагрузки на берегах разрезов приняты равными ($m_1 = m_2 = m$).

На рис. 2 приведены зависимости безразмерных коэффициентов интенсивности усилий и моментов $\tilde{K}_N = hK_N/(|m|\sqrt{l})$, $\tilde{K}_M = K_M/(m\sqrt{l})$, а также разрушающей нагрузки $\tilde{m}_* = |m_*|/m^0$ ($m^0 = 2h^2\sqrt{2E\gamma_*/(\pi l)}$) от параметра расположения дефектов $\rho = l/d$ при фиксированных значениях безразмерного параметра кривизны $\lambda = (3(1 - \nu^2))^{1/4}l/\sqrt{Rh}$. Результаты расчета без учета контакта согласуются с данными [17]. Значение коэффициента интенсивности усилий для трещины с контактирующими берегами получено из выражения $K_N = \varkappa K_M \operatorname{sgn} m/h$, которое является следствием первого условия в (2).

Учет контакта берегов трещин приводит к увеличению коэффициентов интенсивности усилий и уменьшению коэффициентов интенсивности моментов, а также к их немонотонным зависимостям от параметра ρ . При изгибе цилиндрических оболочек учет контакта берегов трещин приводит к увеличению значений безопасных нагрузок и к более быстрому уменьшению разрушающего момента при сближении дефектов. В случае сферической оболочки разрушающий момент может быть меньше, чем в случае, когда контакт берегов не учитывается. При учете контакта берегов на внутренней поверхности имеет место четко выраженная немонотонная зависимость $\tilde{m}_*(\rho)$. В отличие от результатов расчета без учета контакта берегов в данном случае немонотонные зависимости коэффициентов интенсивности и предельной нагрузки от параметра ρ усиливаются, если берега смыкаются на внутренней лицевой поверхности оболочки, и ослабляются при контакте берегов на внешней лицевой поверхности. С увеличением кривизны оболочки появляется диапазон значений параметра ρ , в котором наиболее опасными являются дальние вершины трещин.

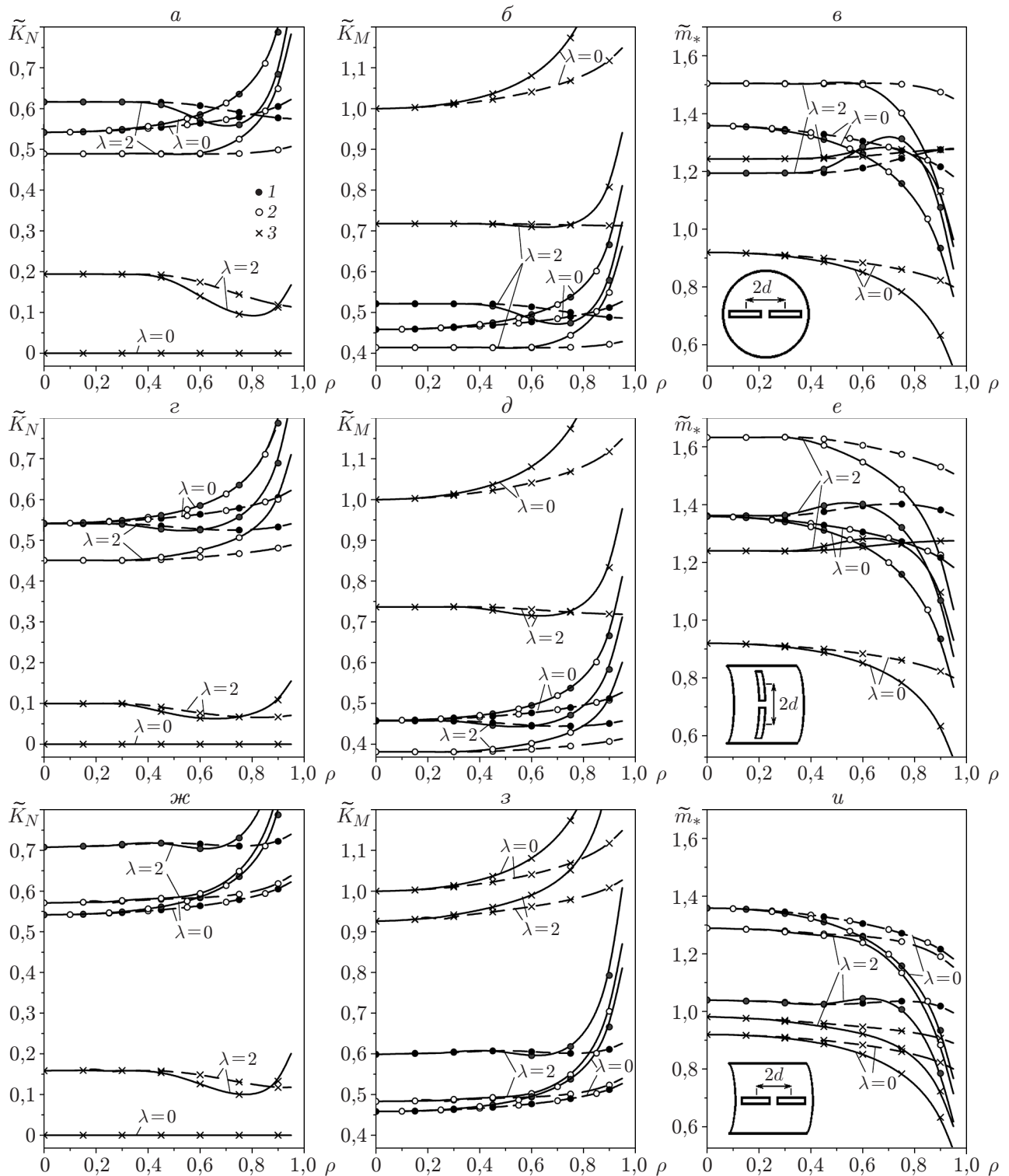


Рис. 2. Зависимости коэффициентов интенсивности усилий (*а, г, ж*) и моментов (*б, д, з*), а также разрушающей нагрузки (*в, е, и*) от параметра ρ для оболочек с коллинеарными трещинами:

а-в — сферическая оболочка, *г-и* — цилиндрические оболочки; сплошные линии — результаты расчетов для внутренних вершин разрезов, штриховые — для внешних вершин разрезов; 1, 2 — результаты расчетов с учетом закрытия трещин (1 — в случае, когда берега смыкаются на внутренней ($m > 0$) лицевой поверхности оболочки, 2 — на внешней ($m < 0$) лицевой поверхности оболочки), 3 — результаты расчета без учета закрытия трещин

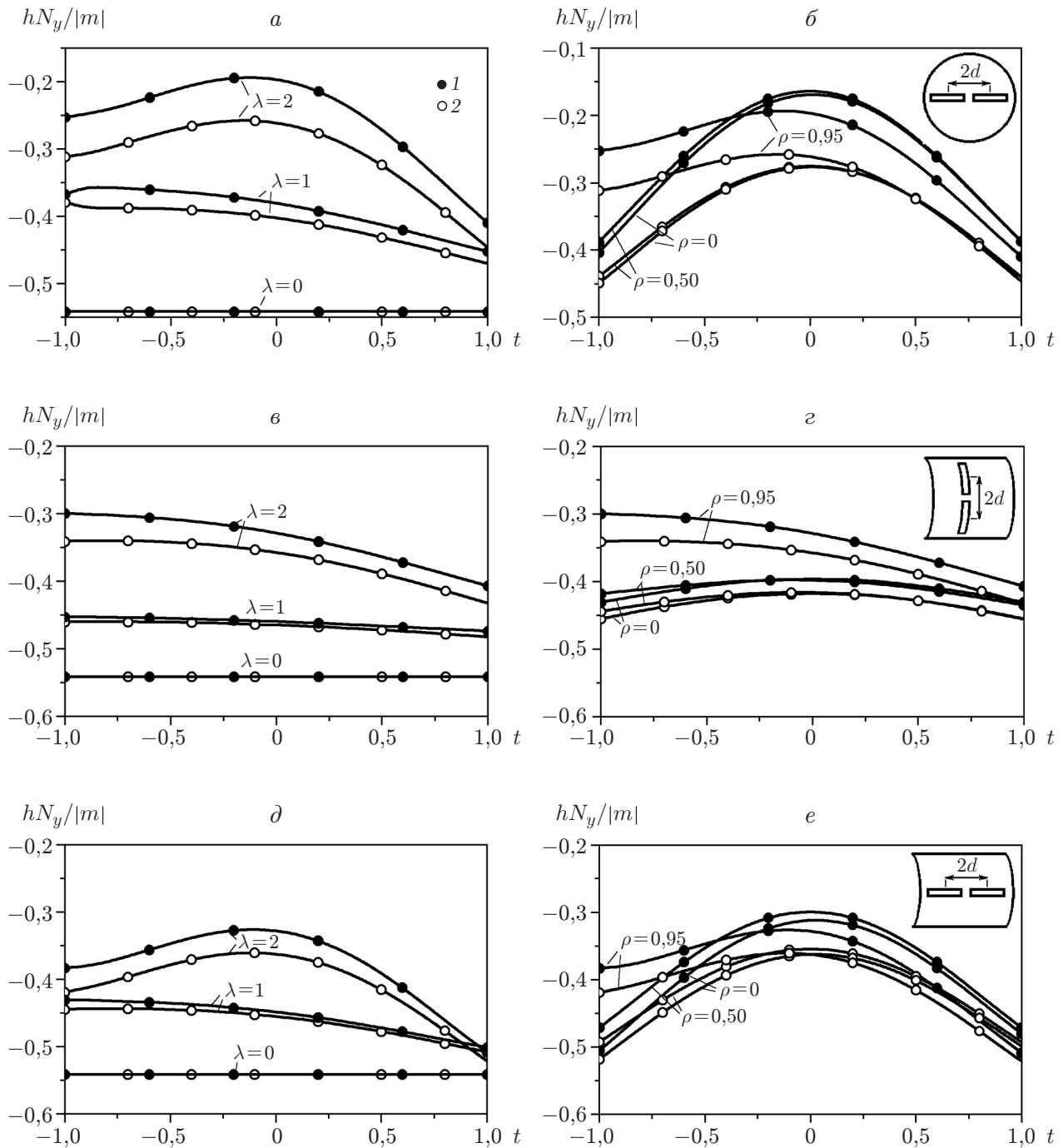


Рис. 3. Распределение безразмерной контактной реакции на правой трещине в оболочках при различных значениях параметров λ (а, в, д) и ρ (б, г, е):

а, б — сферическая оболочка, в-е — цилиндрические оболочки; а, в, д — $\rho = 0,95$, б, г, е — $\lambda = 2$; 1, 2 — результаты расчетов с учетом закрытия трещин (1 — в случае, когда берега смыкаются на внутренней ($m > 0$) лицевой поверхности оболочки, 2 — на внешней ($m < 0$) лицевой поверхности оболочки)

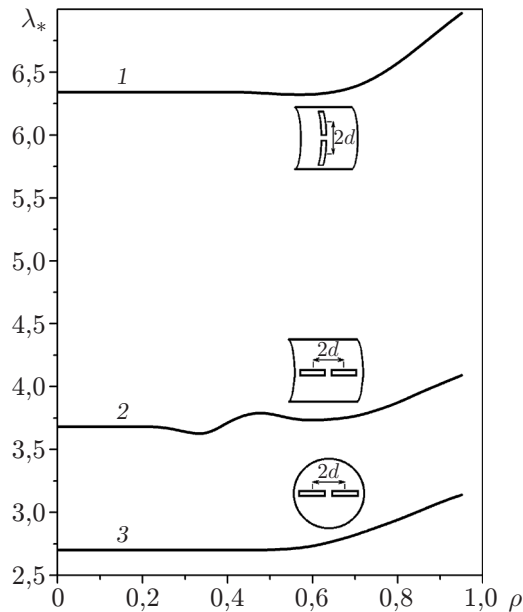


Рис. 4. Зависимость параметра λ_* от ρ для цилиндрических (1, 2) и сферической (3) оболочек

Результаты расчета контактного усилия для правой трещины представлены на рис. 3. Видно, что с увеличением параметра λ контактные усилия на берегах трещины уменьшаются (в наибольшей степени посередине трещины и вблизи внутренних вершин дефектов). На рис. 4 приведена зависимость параметра λ_* от ρ . В случае $m > 0$ при $\lambda > \lambda_*(\rho)$ следует решать смешанную задачу со свободной границей, при $\lambda < \lambda_*(\rho)$ смыкание кромок происходит по всей длине разреза. В случае $m < 0$ при любом значении λ происходит смыкание кромок по всей длине разреза. Для сферической оболочки и цилиндрической панели с продольными разрезами при контакте берегов на внутренней поверхности ($m > 0$) зависимость контактной реакции от параметра ρ является немонотонной.

В частном случае нулевой кривизны ($\lambda = 0$) получаем решение задачи изгиба для коллинеарных трещин с контактирующими берегами в пластине [14]. При неограниченном увеличении расстояния между трещинами ($\rho = 0$) полученные результаты соответствуют задаче о закрытии одиночных прямолинейных трещин в сферической и цилиндрической оболочках [8–10].

Таким образом, в работе исследовано влияние учета контакта берегов трещины на напряженно-деформированное состояние и предельное равновесие изгибаемых пологих оболочек.

ЛИТЕРАТУРА

1. **Khudnev A. M.** Analysis of cracks in solids / A. M. Khudnev, V. A. Kovtunenکو. Southampton; Boston: WIT-Press, 2000.
2. **Шацкий И., Перепічка В., Даляк Т., Щербій А.** Задачі теорії пластин та оболонок із взаємопов'язаними крайовими умовами на розрізах // Математичні проблеми механіки неоднорідних структур: В 2 т. Львів: Каменяр, 2000. Т. 2. С. 51–54.
3. **Zehnder A. T., Viz M. J.** Fracture mechanics of thin plates and shells under combined membrane, bending and twisting loads // Appl. Mech. Rev. 2005. V. 58. P. 37–48.

4. **Хлуднев А. М.** Теория трещин с возможным контактом берегов // Успехи механики. 2005. Т. 3, № 4. С. 41–82.
5. **Шацький І. П.** Інтегральні рівняння задачі згину пологої оболонки, ослабленої розрізом з контактуючими кромками // Доп. АН УРСР. Сер. А. 1991. № 2. С. 26–29.
6. **Хлуднев А. М.** Контактная задача для пологой оболочки с трещиной // Прикл. математика и механика. 1995. Т. 59, № 2. С. 318–326.
7. **Шацкий И. П.** Задача о разрезе с контактирующими кромками в изгибаемой пологой оболочке // Изв. РАН. Механика твердого тела. 1998. № 5. С. 164–173.
8. **Шацький І. П.** Закриття поперечної тріщини при згині пологої циліндричної оболонки // Мат. методи та фіз.-мех. поля. 2000. Т. 43, № 2. С. 149–154.
9. **Шацький І. П.** Закриття поздовжньої тріщини в пологій циліндричній панелі під час її згину // Фіз.-хім. механіка матеріалів. 2005. Т. 41, № 2. С. 45–48.
10. **Шацкий И. П., Маковийчук Н. В.** Равновесие пологой сферической оболочки с учетом контакта берегов трещины при изгибе // Теорет. и прикл. механика. 2005. Вып. 41. С. 146–150.
11. **Liu Rong, Wang C. H., Bathgate R. G.** Crack closure in spherical shells // Intern. J. Fract. 1999. V. 99, N 4. P. 307–323.
12. **Liu Rong, Zhang Tie, Wu X. J., Wang C. H.** Crack closure effect on stress intensity factors of an axially and a circumferentially cracked cylindrical shell // Intern. J. Fract. 2004. V. 125, N 3/4. P. 227–248.
13. **Шацький І. П., Маковіїчук М. В.** Контактна взаємодія берегів тріщин у пологих оболонках за згину з розтягом // Фіз.-хім. механіка матеріалів. 2005. Т. 41, № 4. С. 45–52.
14. **Шацкий И. П.** Взаимодействие коллинеарных разрезов с контактирующими кромками в изгибаемой пластине // Физ.-хим. механика материалов. 1990. Т. 26, № 3. С. 70–75.
15. **Erdogan F., Ratwani M.** A note on the interference of two collinear crack in a cylindrical shells // Intern. J. Fract. 1974. V. 10, N 4. P. 463–465.
16. **Осадчук В. А.** Напряженно-деформированное состояние и предельное равновесие оболочек с разрезами. Киев: Наук. думка, 1985.
17. **Механика композитов: В 12 т.** / Под общ. ред. А. Н. Гузя. Киев: Наук. думка, 1993. (Т. 7. Концентрация напряжений / А. Н. Гузь, А. С. Космодамианский, В. П. Шевченко и др. Киев: А. С. К., 1998).

*Поступила в редакцию 10/XII 2009 г.,
в окончательном варианте — 14/V 2010 г.*
